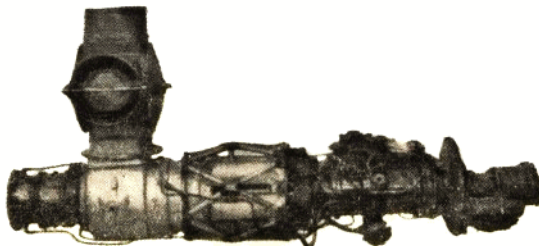


# 航空发动机 設計參考資料

---

奧瑞克斯(Oryx)NOr.1型  
直升机噴气發动机

北京航空学院发动机資料編輯室編



國防工業出版社

## 編者的話

自我国社会主义大跃进以来，随着工农业空前发展，科学技术各个领域飞跃前进，我国航空科学方面，在党的领导下各有关部门间开展了共产主义大协作，作出了一定的成绩。

为了有助于航空发动机的設計与教学工作，我室师生着手彙编一套有关发动机設計的参考資料。目前只選擇一些資本主义国家的航空发动机，作了分析研究，并依据資料繪出等比例的縱橫剖面圖。由于資料不足水平有限，某些結構又屬揣測而得，圖中尺寸亦多出于估計，故仅供作參考，書中某些問題分析叙述亦有不够透澈或錯誤之处，請讀者指正。

書中所引用之基本資料均選自英、美等國杂志，因而其技术性能和构造形式的介紹定有虛夸与失实之处，其設計主导思想亦多由最大限度地追求利潤及侵略戰爭出發，與我們社会主义国家設計思想根本不同。在編寫過程中，我們虽尽力用批判态度，选其精华，去其糟粕，仍希讀者在参考本書时，注意批判接受。

参加本書資料搜集、研究和整理工作的有本院有关教研室教師及1958年毕业生。

在本書編輯中，蒙国际航空杂志編輯部提供了許多資料，国防工业出版社对本書出版給予大力支持，我們謹致以衷心感謝。

北京航空学院发动机資料編輯室

一九五九年三月

# 目 录

編者的話 .....	1
第一章 總論 .....	3
§ 1 奧瑞克斯(Oryx)發動機的發展簡況 .....	3
§ 2 簡介 .....	7
§ 3 工作原理 .....	9
第二章 發動机构造 .....	13
§ 1 發動机之支承傳動系統与承力系統 .....	13
§ 2 主、輔壓縮机进口裝置 .....	21
§ 3 主壓縮机 .....	22
§ 4 輔壓縮机 .....	33
§ 5 燃燒室 .....	37
§ 6 涡輪 .....	42
§ 7 燃氣發生器 .....	43
第三章 附件系統 .....	51
§ 1 附件傳動与布置 .....	51
§ 2 冷却与潤滑系統 .....	52
§ 3 操縱系統 .....	56
第四章 對奧瑞克斯發動機特点之分析 .....	56
§ 1 多發動機与渦輪螺旋發動機之采用 .....	56
§ 2 非机械傳動之采用 .....	58
奧瑞克斯發動機主要零件材料表 .....	60
參考資料 .....	60

# 第一章 总論

## §1 奥瑞克斯(Oryx)发动机的发展簡况

奥瑞克斯是英国那派尔(Napier)发动机公司之产品，那派

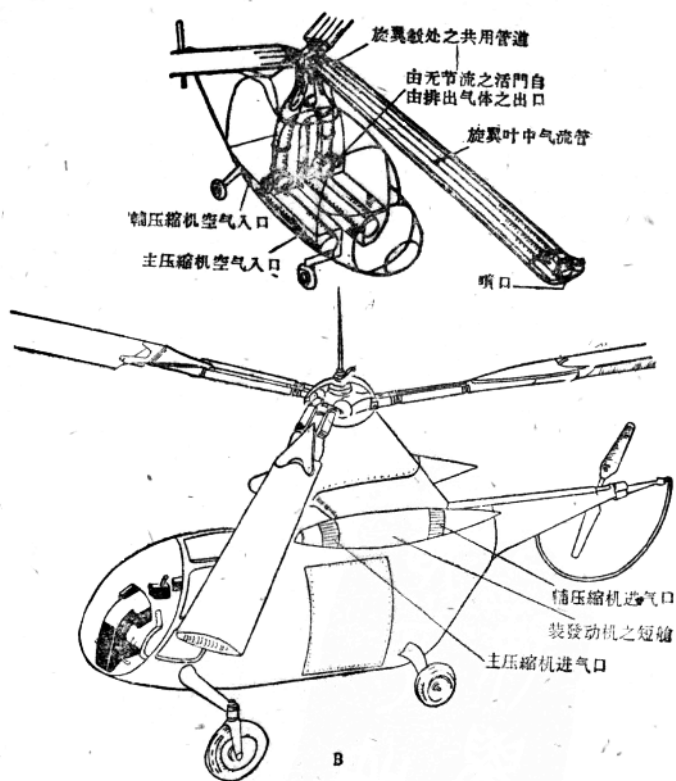


图1 发动机在飞机上之安装情况：  
A—P74飞机上之发动机位置安装图；B—P105飞机上之发动机位置安装图。

尔是英国通用电气公司之附属公司，它是以设计制造直升机动力装置而著称的。该公司注意力一般放在中小型功率范围上，目前

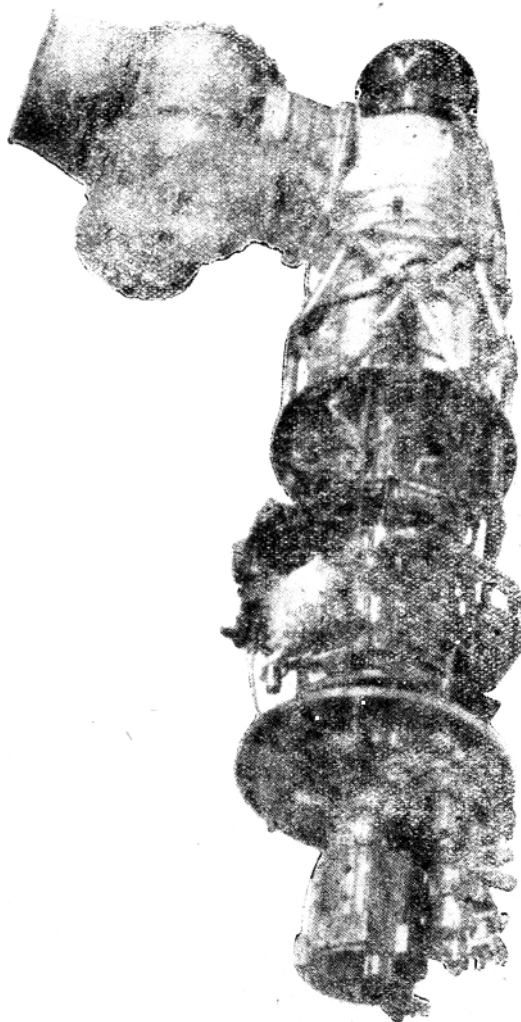


图2 奥端克斯外形图。

数据端端性性能

已成功地設計了五种为專用途飞机使用的發动机，由1500匹馬力之納德 (Naiod) 开始，發展到800~1200 气体 馬力之奥瑞克斯 (Oryx) 及 3000~4255 匹馬力之意兰德(Eland)及罗馬德(Nomad)，于1956年8月又成功地設計了盖茲尔 (Gazelle)，其功率正向着2000匹馬力發展着。

早在1951年亨廷·派瑞塞爾 (Hunting Pereival)航空有限公司即已提出，需要設計出由旋翼尖端引出燃气以产生功率之發动机，后由于那派尔公司實驗出的小軸流壓縮机能够有較高之性能參數，并証明了旋翼尖端引出燃气能获得所需之功率，这才奠定了奥瑞克斯出現之基础。

奧瑞克斯 (N Or. 1) 在1952年5月即已設計好，1953年12月第一台 NOr. 1 發动机試

車成功，此發动机的制成先于那派尔研究站原型壓縮机与渦輪部件的实验，但后来这些实验又真正确定了发动机之气动力參数。

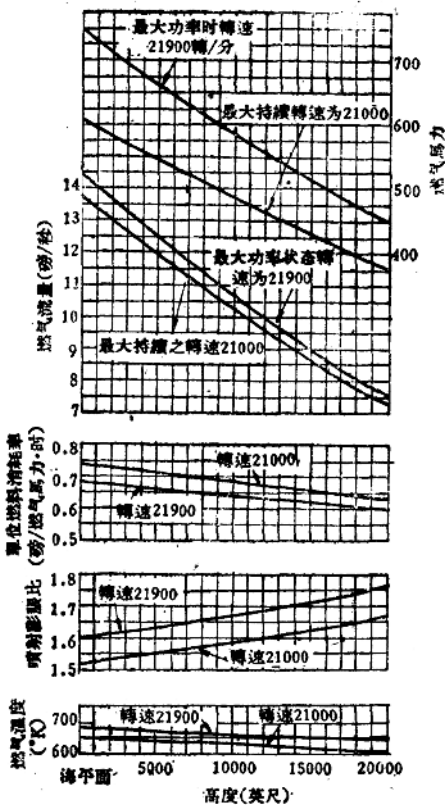


圖 3 NOr. 1 之高度特性。

NOr. 1 型发动机用在 P74 型直升机上，每架直升机装有两台；成水平安放在机顶上，如图 1 所示。

目前奥瑞克斯 NOr. 1 型已经发展为 750 气体马力之发动机，1953 年底出现了 825 气体马力之 NOr. 3，1954 年底 NOr. 3 已发展到 900 气体马力，其装在 P105 直升机上，与 NOr. 1 装法相同，由于涡轮入口处导向叶片材料之改进  $T_3$  温度可提高，目前 NOr. 10 已发展成具有 1250 气体马力之发动机了。

根据目前资料，奥瑞克斯发动机之主要性能如表所示。

NOr. 1 型发动机之高度特性如图 3 所示。

## § 2 简介

奥瑞克斯 NOr. 1 为直升机动力装置，它是借一定温度之燃气由旋翼腔道尖端引出而获得功率的，在构造上主要特点是于涡轮后无轴向引出燃气之尾喷管，而装一侧排式之燃气发生器，压缩机前端没有机械传动式之减速器。

由于燃气发生器与旋翼材料之限制，必须控制排出之燃气温度，使其低于  $400^{\circ}\text{C}$ 。起先企图由主压缩机中引出一股冷气以降低燃气温度，但发现由主压缩机周围引出气体，特别对小尺寸发动机而言，损失很大，因而决定采用一单独辅助压缩机，以控制排出燃气之温度，但必须使出口与辅助压缩机进口隔开，以避免进气之加温作用，同时发动机总长度要控制在一定数据范围内，并尽量减少压缩机进口之损失。最后经实验结果，选择了使辅助压缩机倒放，即由尾端进气之方案，这时进口损失最小，构造也最为合理，如图 4 所示。

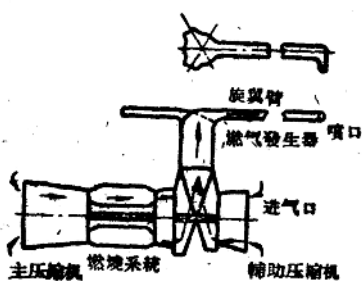


图 4 奥瑞克斯方案布置图。

空气由发动机两端分别进入主、辅压缩机，而冷空气与热燃气形成之混合物，则由辅压缩机与涡轮之间的燃气发生器排至旋翼之腔道中，最后由旋翼尖端喷射出，而产生功率。发动机由头至尾各部件安装的顺序及其说明如下：

1. 安装顺序：①附件安装部分；②主压缩机；③上压缩机扩压机匣；④燃烧室；⑤涡轮；⑥燃气发生器；⑦辅压缩机。

## 2. 安装说明：

①于发动机最前端，安装有燃油泵，润滑油泵，转速表发动机，电起动机等附件；

②主压缩机采用等外径通道，为12级之轴流压缩机，机匣成水平分开式，进口有旋转系统叶片，有减小转子轴向负荷之装置，混合式转子用9个螺栓拉紧；

③燃烧室为单管式，由五个管组成，喷咀采用高压逆流喷射式；

④涡轮共有两级，为单轴式。通道为等内径，采用双层之涡轮外环；

⑤燃气发生器，基本上用耐热钢板制成，中间弧形通道通入热燃气，外圈有辅压缩机压入之冷空气，发生器上有两个活门，备起动与正常工作时调节用；

⑥辅压缩机为等外径通道，4级轴流压缩机，机匣为水平分开式，进口处有可旋之导流叶片。

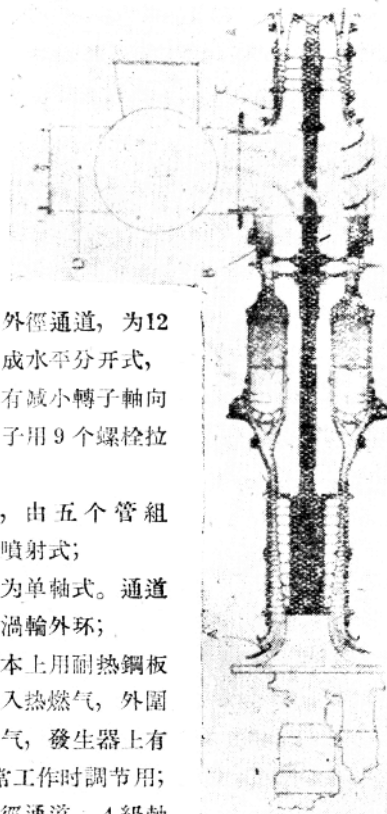


图 5 发动机构造简图。

发动机共有三个转子，即主、辅压缩机转子与涡轮转子，每个转子均为两点支承，转子之前后各有一滚动轴承（一为滚珠，一为滚棒）。六个支承点各自引油与回油，轴承主要借滑油与冷却空气混合之油雾，达到冷却与润滑之目的。发动机构造简图如图5所示。

### §3 工作原理

1. 概述 奥瑞克斯之工作循环与双转子涡轮喷气发动机之循环相类似，只是在构造布置上有些不同，第二个压缩机不是直接装在第一个压缩机之后，而是装在燃气发生器（即可调节的侧排式喷管，装在涡轮出口处）后，而且是由尾端进气的，如图6所示。

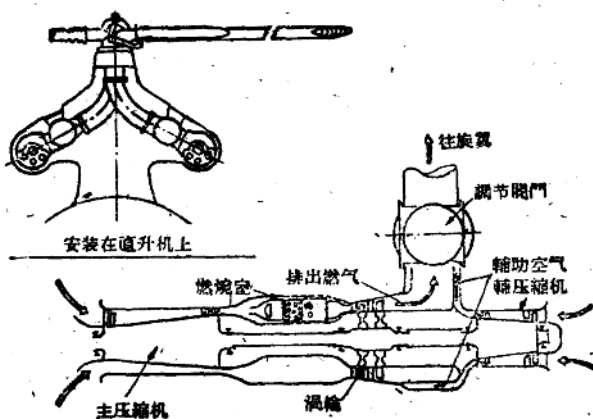


图6 工作原理图。

由实验证明，第二个压缩机（即辅压缩机）最有利之空气流量是主要压缩机空气量的50%。

2. 稳定工作之条件及气体功率计算 装置中的基本元件必须符合下列三条件才能有效而稳定的工作：

① 涡輪功率  $L_T$  等于主、輔壓縮機功率之和，

$$L_T = L_{K\pm} + L_{K\pm}$$

② 涡輪与主、輔壓縮機之轉速必相同，

$$n_{\text{涡}} = n_{\text{主}} = n_{\text{辅}}$$

③ 輔壓縮機後壓力等於渦輪出口處之壓力，

$$P_{K\pm} = P_4$$

發動機是借助于燃氣與空氣混合物側排至旋翼尖端噴出而產生功率的，各主要截面之參數如圖 7 所示。發動機相應裝置之功率用氣體馬力 ( $G, H, P$ ) 来衡量，即將燃氣由旋翼腔道中排出之過程，看成一氣體完全膨脹之過程，氣體馬力計算式即可寫成如下式，

$$N_{\text{气體馬力}}$$

$$= 5.7 C_P G_{B\Sigma} T_D \left[ 1 - \left( \frac{P_a}{P_D} \right)^{\frac{\gamma-1}{\gamma}} \right],$$

式中  $G_{B\Sigma}$ ——總的氣體重量流量  
(公斤/秒)；

$T_D, P_D$ ——旋翼出口處之最後溫度 ( $^{\circ}\text{K}$ ) 及壓力  
(公斤/厘米 $^2$ )；

$P_a$ ——大氣壓力 (公斤/  
厘米 $^2$ )；

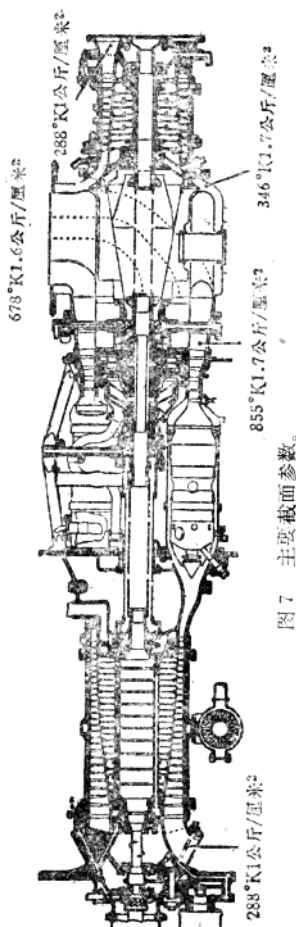


图 7 主要截面参数。

$C_p$ ——平均等压比热，温度在  $T_D$  到大气温度范围内  
(千卡/公斤·度)；

$\gamma$ ——定压与定容比热之比  $c_p/c_v$ 。

3. 关于气体功率之討論 在考慮減小比重時，有效措施之一是減小單位燃料消耗量而提高渦輪前溫度是使燃油量降低之有力办法，但此处溫度增加必使  $T_D$  也增加，而  $T_D$ 、 $P_D$  之大小與旋翼之構造有關，且  $T_D$  值直接受到旋翼材料耐熱性之限制，故溫度必須控制在  $400^{\circ}\text{C}$  以下，不能任意提高，若稍使輔壓縮機之壓縮比提高，亦使旋翼進口處溫度  $T_D$  增高，雖然氣流量下降，按氣體馬力計算之功率可以保持不變，但因  $T_D$  提高必使旋翼材料受不了，故此不能采用此法。

氣體從發生器出口進入旋翼，至尖端噴射前，由於旋翼旋轉受到離心力的補充壓縮，當理論上沒有損失的系統及噴管以無限大速度轉動時，裝置內所有之氣體功率都變成軸功率，如圖 8 中 1 曲線所示，而且前噴管之噴射速度限制在亞音速內，看來在旋翼中之損失總是不可避免，因此轉子軸上之功率總不能達到與氣體功率相等，而小於氣體功率。

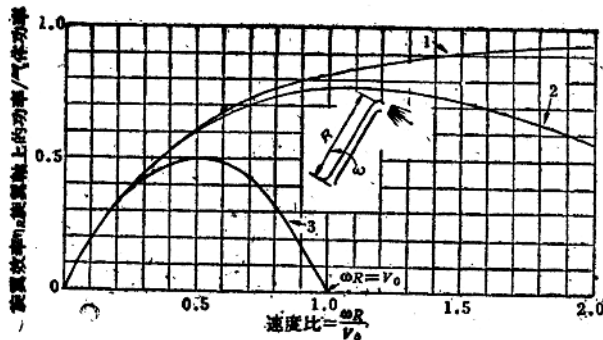


图 8 旋翼效率隨着旋翼尖端噴管運動速度之變化關係：

圖中  $v_0$  — 氣體功率  $N_r$  的當量速度， $v_0 = \sqrt{\frac{2gN_r}{5.7G_{\text{av}}}}$ ；曲線 1 — 氣體在旋翼內沒有損失；2 — 氣體在旋翼內效率為 90%；3 — 氣體在旋翼內之壓縮略去不計時。

如假定所有气体功率轉变为动能，在噴管中从参数  $P_D$ ,  $T_D$  等  
熵膨胀到大气条件，这时出口的气流速度为  $V_0$ ，而这个功率将与  
 $G_{B\Sigma} V_0^2$  成正比。由于在旋翼内之压缩，把气体功率轉化为軸上功  
率之有效性增加了  $\omega_R/V_0$  倍 ( $\omega_R$  为旋翼之角速度)。 $\omega_R/V_0$  这参数  
是很重要的，旋翼内效率即取决于它，因之旋翼軸上的功率就与  
 $G_{B\Sigma} V_0^2 \frac{\omega_R}{V_0} = G_{B\Sigma} V_0 \omega_R$  或  $G_{B\Sigma} V_0$  成正比。因为气体功率与  $G_{B\Sigma} V_0^2$  成  
正比而軸上功率与  $G_{B\Sigma} V_0$  成正比，所以增加  $V_0$  并不如增加发动机  
功率那样地急剧增加在旋翼上之功率。增加  $G_{B\Sigma}$  可使旋翼功率与  
发动机功率皆增加，增加 1% 气体重量流量使旋翼功率之增加，相  
当于  $T_D$  绝对温度增加 2% 或  $P_D$  增加将近 1% 对旋翼功率之增加  
量。故应合理的选择气体重量流量  $P_D$  与  $T_D$  符合旋翼及发动机之  
要求。

**4. 发动机之工作过程** 由主压缩机压缩增压后之空气，經扩  
压器流入燃烧室与燃料按一定比例混合燃烧，燃气再經燃气导管  
送入渦輪中膨胀作功，渦輪功用以带动主輔压缩机及附件，未膨  
脹完之燃气与后端經輔压缩机增压之冷空气，同时进入燃气發生  
器，發生器分为两部分即通道室与活門室，热燃气經通道室中之  
弧形通道，使气流方向由軸向变为徑向，由通道室出口处方形孔  
中流出，而冷空气則均布在四周，如圖 9 所示。在通道室中冷空

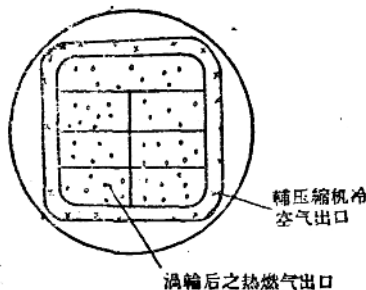


图 9 通道室出口气体分布状况：  
×—冷空气；○—热燃气。

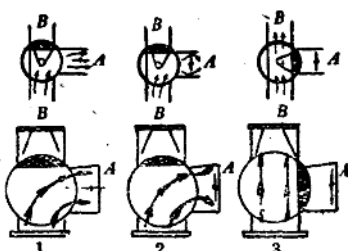


图 10 閥門A, B之調節過程。

气并未与热燃气混合，而于活门室内才互相混合。活门室内有两个阀门，一为有节流阀之A阀门另一为无节流阀之B阀门，由发动机起动至正常工作，阀门A、B之调节过程如下（见图10）：

①起动过程：如图10, 1所示之情况，通往旋翼腔道之活门B关闭，混气经节流阀全开之A阀门，排至大气中，这时排气系统阻力最小，易使转子转速极速增加，这使起动方便，起动时间缩短。

②过渡过程：如图10, 2所示之情况，当起动完毕，欲转入正常工作时，A之节流阀慢慢关小，使流体阻力渐增，直至节流阀至垂直位置。

③正常工作过程：如图10, 3所示之情况，当A之节流阀处于垂直位置时，此时气流经A之节流损失恰与通入旋翼通道中造成节流损失相等，速于此时将A关闭，打开B阀门；将混气通入旋翼通道，使其由叶尖沿切向喷射，旋翼开始转动，产生气体功率，即为正常工作状态。

在地面试车测定发动机气体功率时，先将其装在测量台上，燃气经一特制之喷口水平排出，测得其推力，再应用特殊换算图表换算之，即可得出气体马力值。

## 第二章 發动机构造

### § 1. 发动机之支承传动系统与承力系统

**1. 支承与传动** 发动机中共有三个转子，即主压缩机转子，涡轮转子与辅压缩机转子。每个转子均为两支点支承形式如图11所示。主压缩机与涡轮转子，均将滚珠轴承作为后支点，辅压缩机之滚珠轴承则作为前支点（进口为前出口为后）。

主压缩机将止推轴承（滚珠轴承）作为后支点之目的：①轴向力直接通过扩压机匣传至主安装节上，不必使主进气机匣与主



圖11 傳動簡圖。

壓縮機匣承受軸向力；②止推軸承靠近壓縮機最後幾級（即短葉片的幾級），這可在受熱膨脹時，使最後幾級軸向伸長量較小，因而葉片軸向間隙與徑向間隙改變不大，保證壓縮機效率不致太低，但這對等外徑之壓縮機來說此優點並不存在。

止推軸承放在後邊，處於高溫氣體包圍中，工作條件差，冷卻潤滑困難，為其缺點。

對一般懸臂支承之渦輪轉子而言，將滾珠軸承作為前支點較適宜，因前邊溫度較低，工作條件較好，冷卻潤滑方便，但針對本發動機而言，因渦輪為雙支點式且後支點之軸承座處在輔壓縮機冷空氣之包圍中，工作條件遠比前支點好，故滾珠軸承作為後支點。

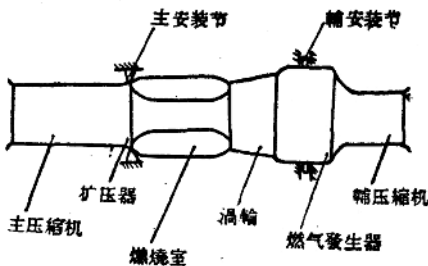


圖12 主輔安装节之位置。

這種三轉子採用六支點之支承方案，雖省去了球形接軸器較複雜之構造，而在兩轉子間代之以簡單的齒槽聯軸器以備傳動，但支點多了增加重量，冷卻潤滑系統亦變得較複雜，所需之滑油

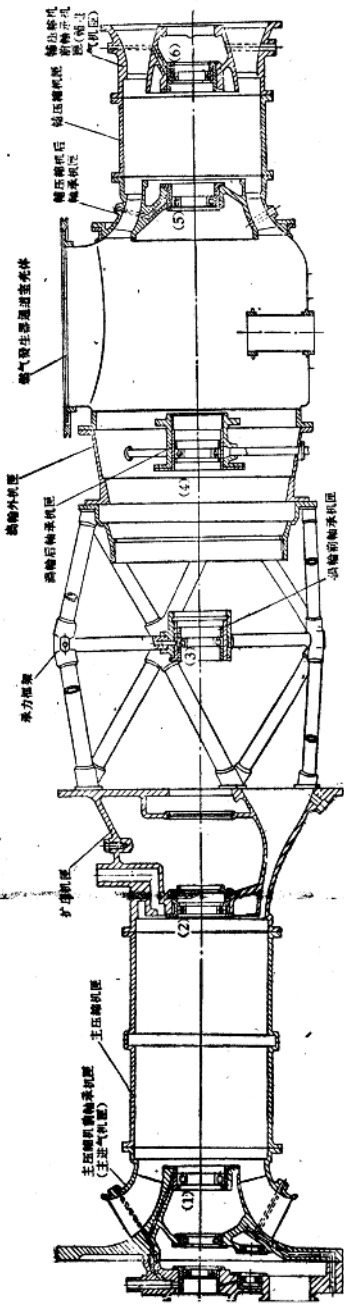


图13 发动机承力系统:  
1—主压气机前轴承（滚珠）；2—主压气机后轴承（滚珠）；3—滚轮前轴承（滚珠）；4—滚轮后轴承（滚珠）；5—压缩机后机架示（前机架）；6—压缩机前机架示（后机架）。

